

Microestructura

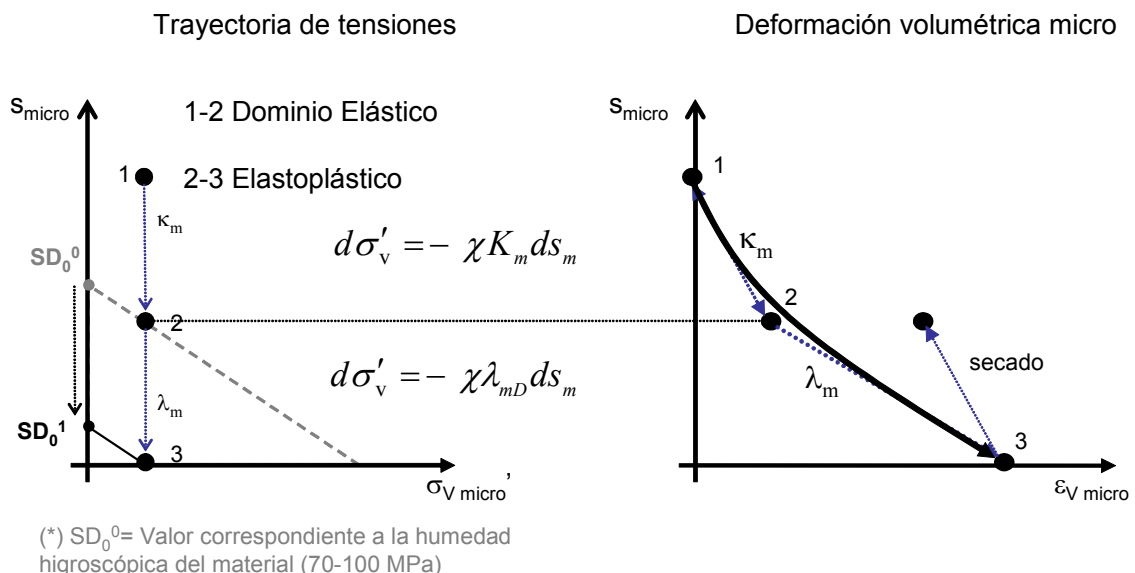


Figura 7.1- Trayectorias de humedecimiento a carga constante para la microestructura.

Nivel Macroestructural

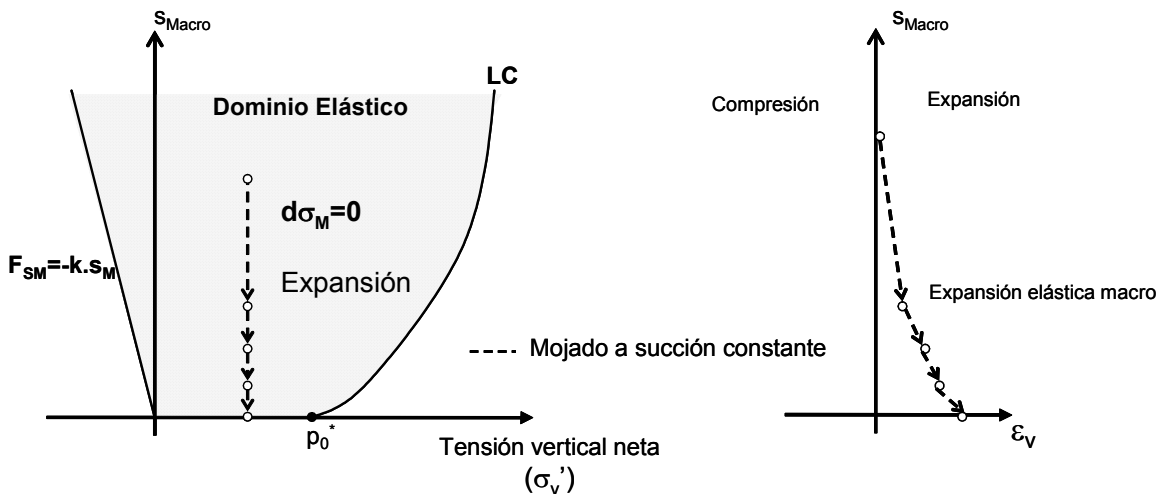


Figura 7.2- Trayectorias de humedecimiento a carga constante para la determinación de parámetros de la macroestructura.

Nivel Macroestructural

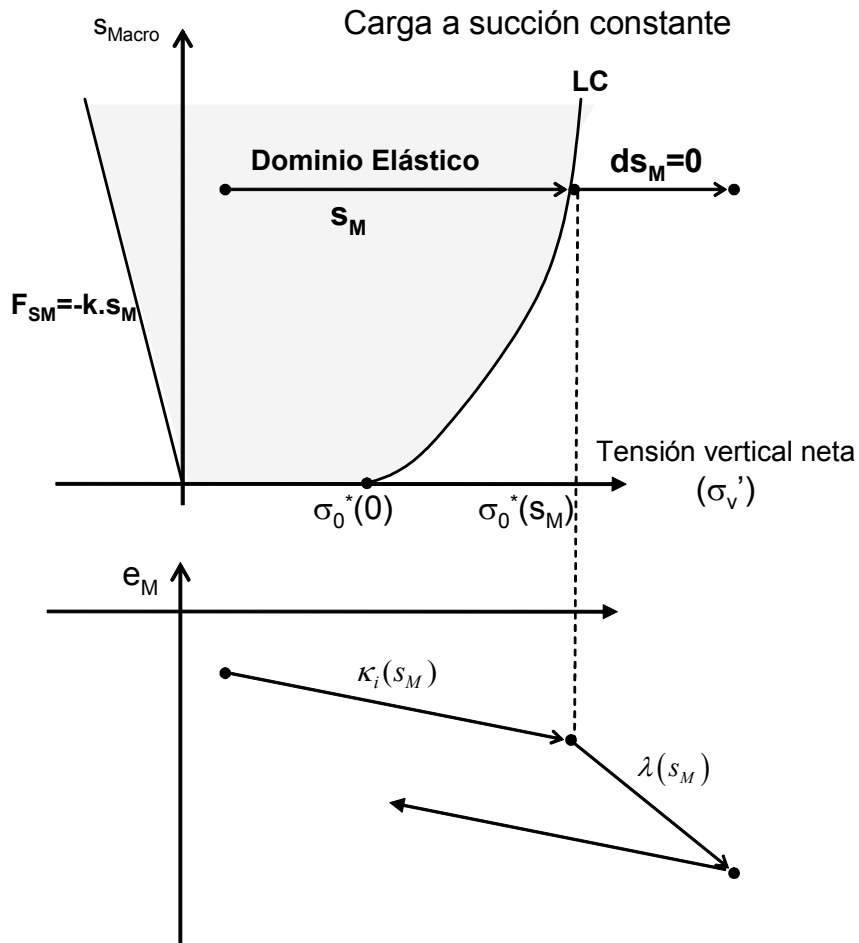


Figura 7.3- Trayectorias de carga a succión constante para la determinación de parámetros de la macroestructura.

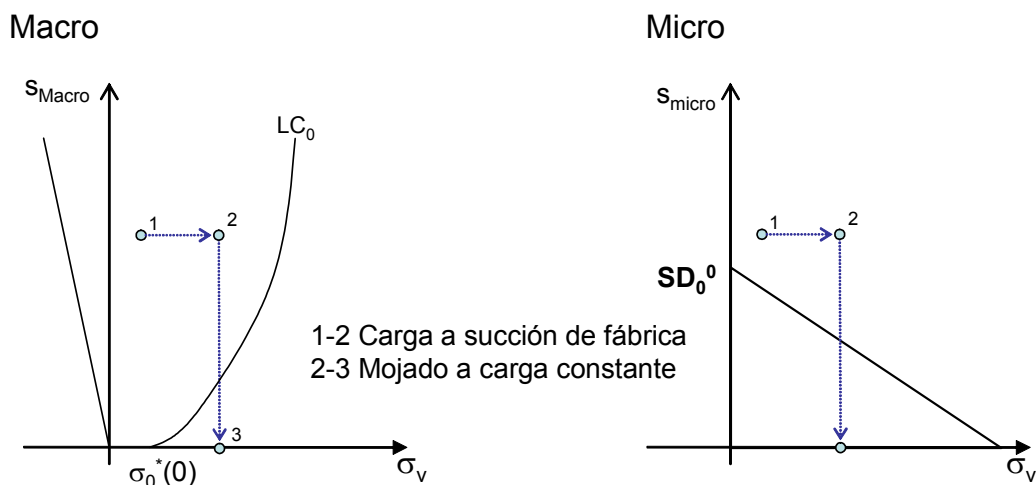


Figura 7.4- Trayectorias de humedecimiento a carga constante representada en los planos macro y micro respectivamente.

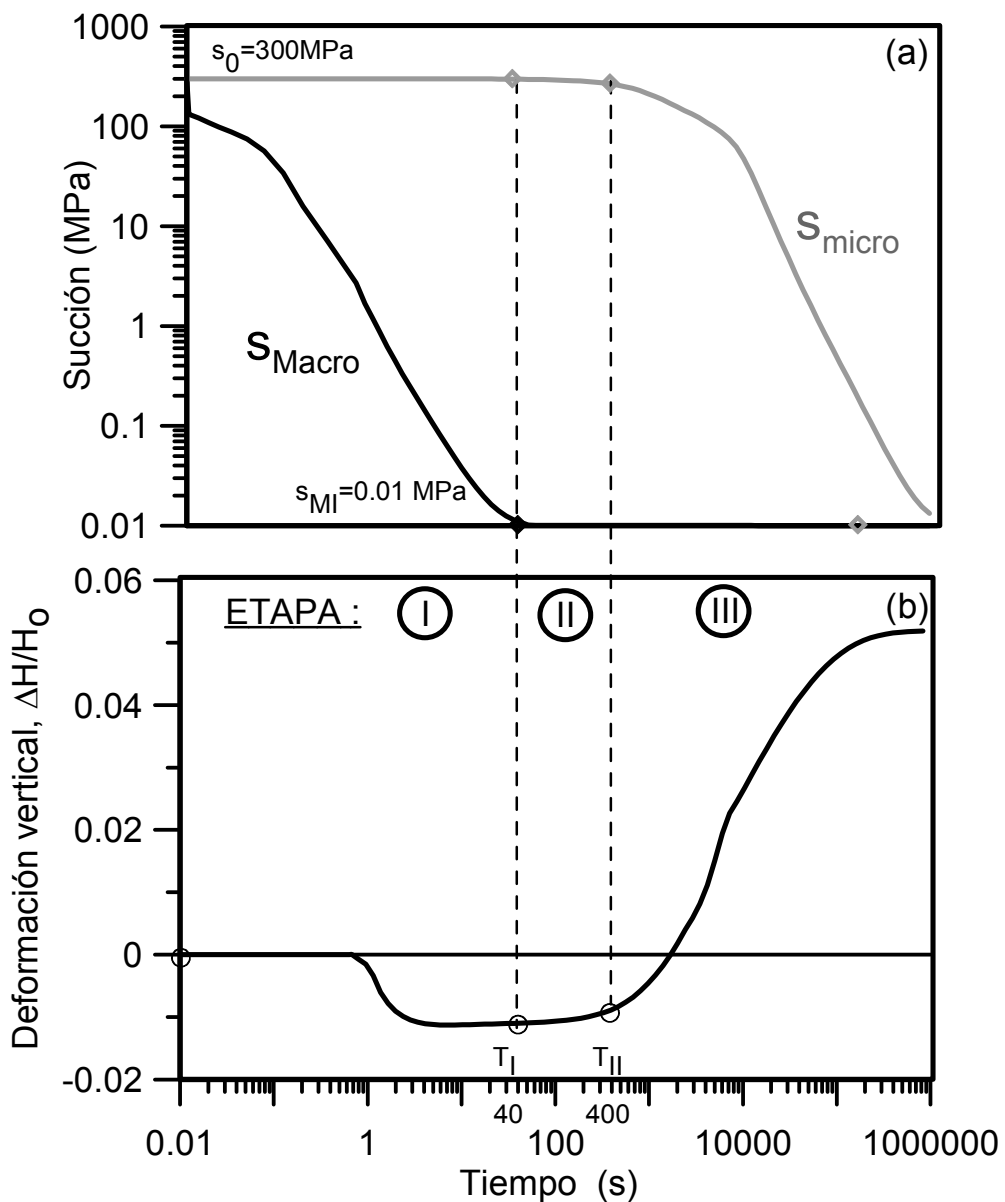


Figura 7.5- Ensayo de humedecimiento a carga constante de “inyección rápida”. (a)- Evolución de las succiones macro y micro. (b)- Evolución de la deformación vertical relativa.

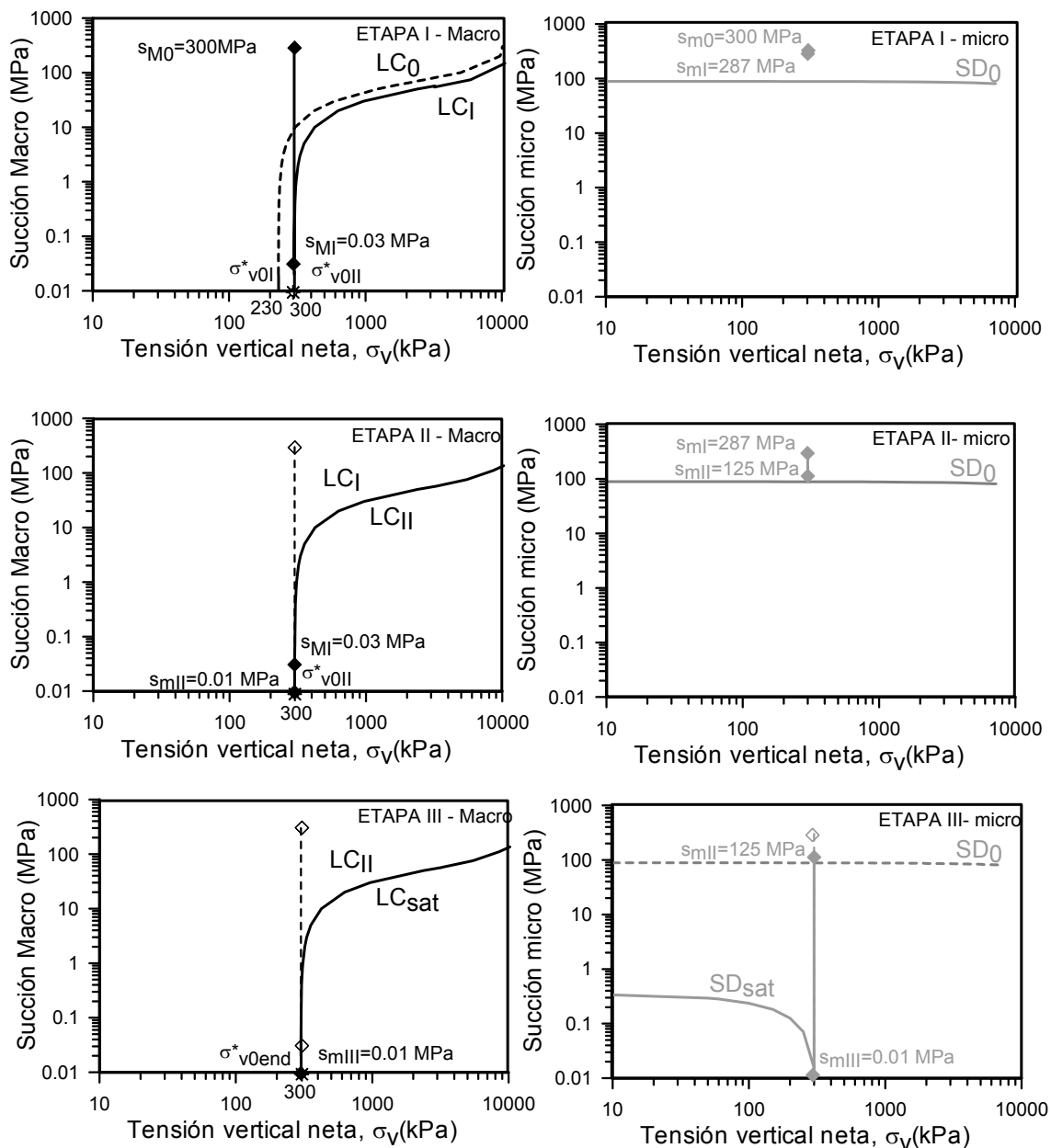


Figura 7.6. Evolución de la trayectoria de tensiones macro y micro durante el ensayo de humedecimiento a carga constante con “inyección rápida”.

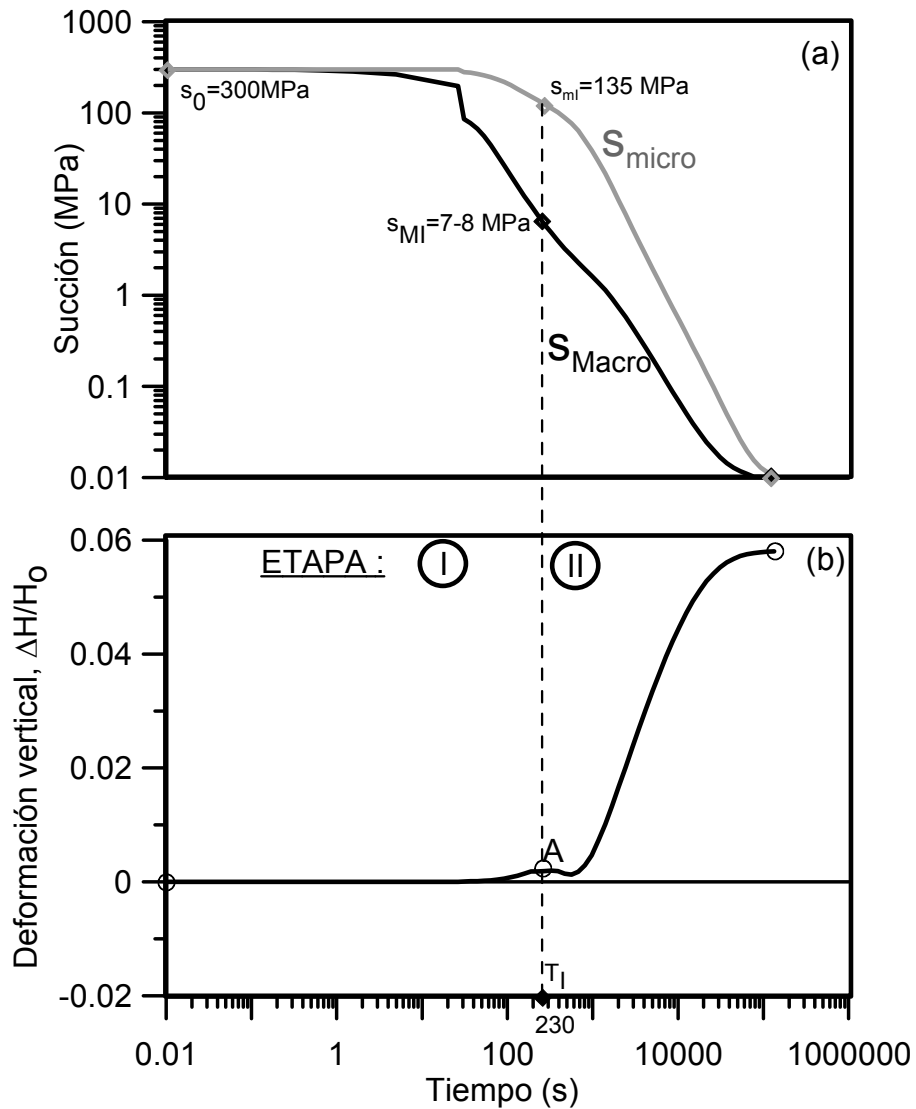


Figura 7.7. Ensayo de humedecimiento a carga constante de “inyección lenta”. (a)- Evolución de las succiones macro y micro. (b)- Evolución de la deformación vertical relativa

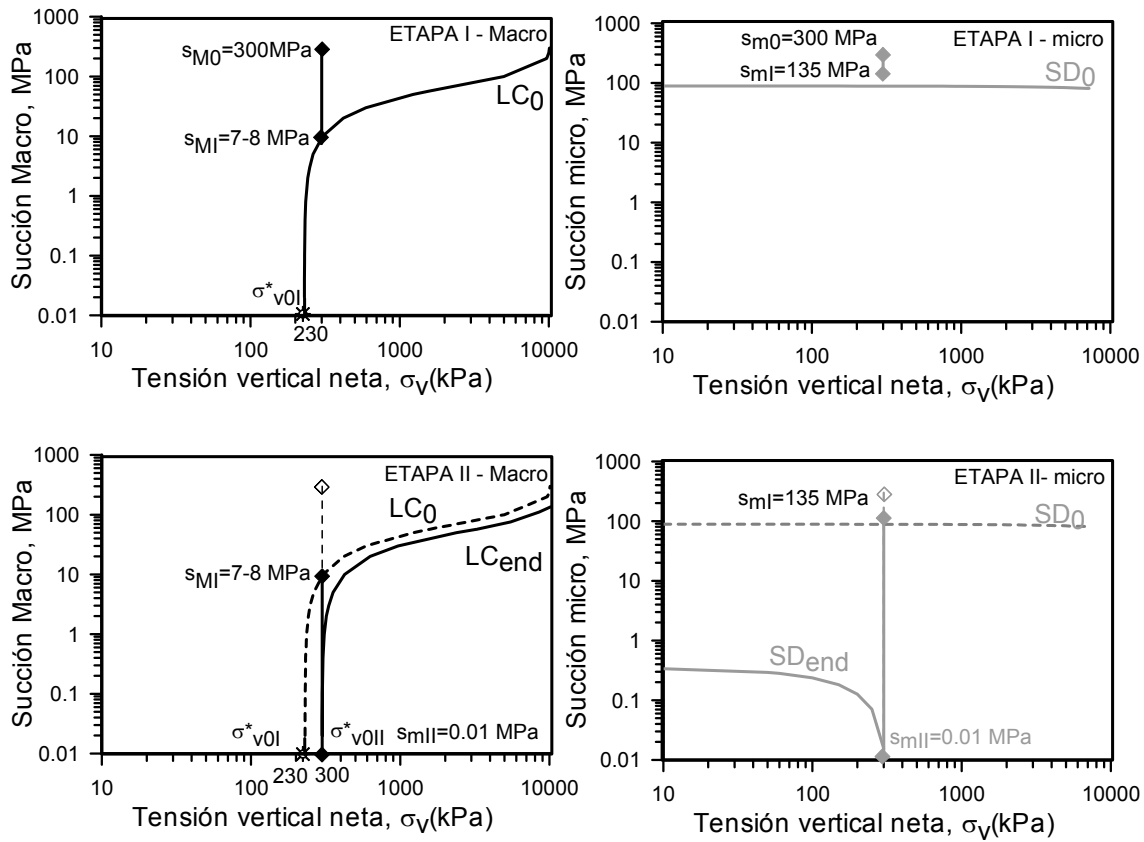


Figura 7.8. Evolución de la trayectoria de tensiones macro y micro durante el ensayo de humedecimiento a carga constante “lento”.

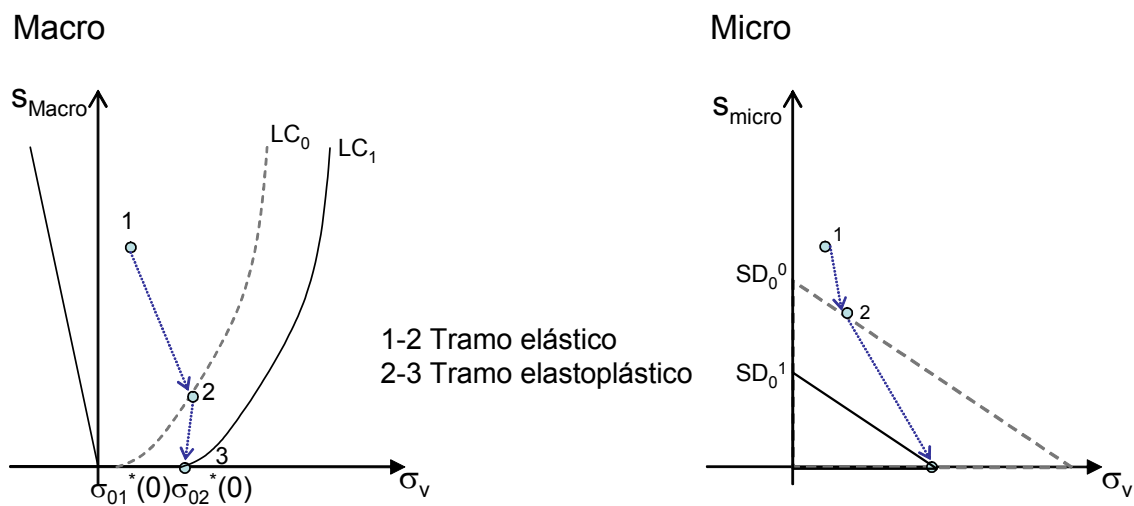


Figura 7.9- Trayectorias de humedecimiento a volumen constante representada en los planos macro y micro respectivamente.

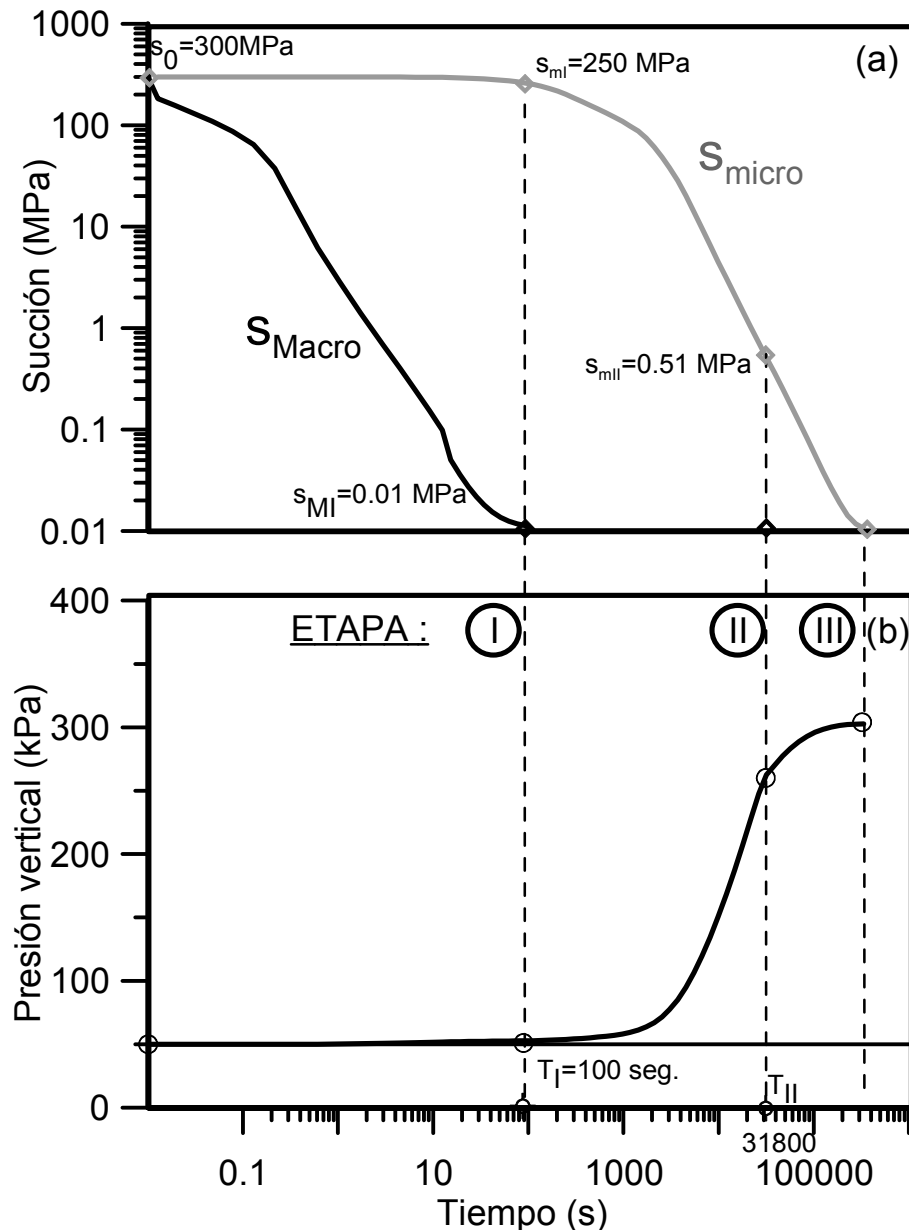


Figura 7.10 Ensayo de humedecimiento a volumen constante (presión de hinchamiento) para $\rho_d=1.3 \text{ Mg/m}^3$. (a)- Evolución de las succiones macro y micro. (b)- Evolución de la presión vertical según etapas.

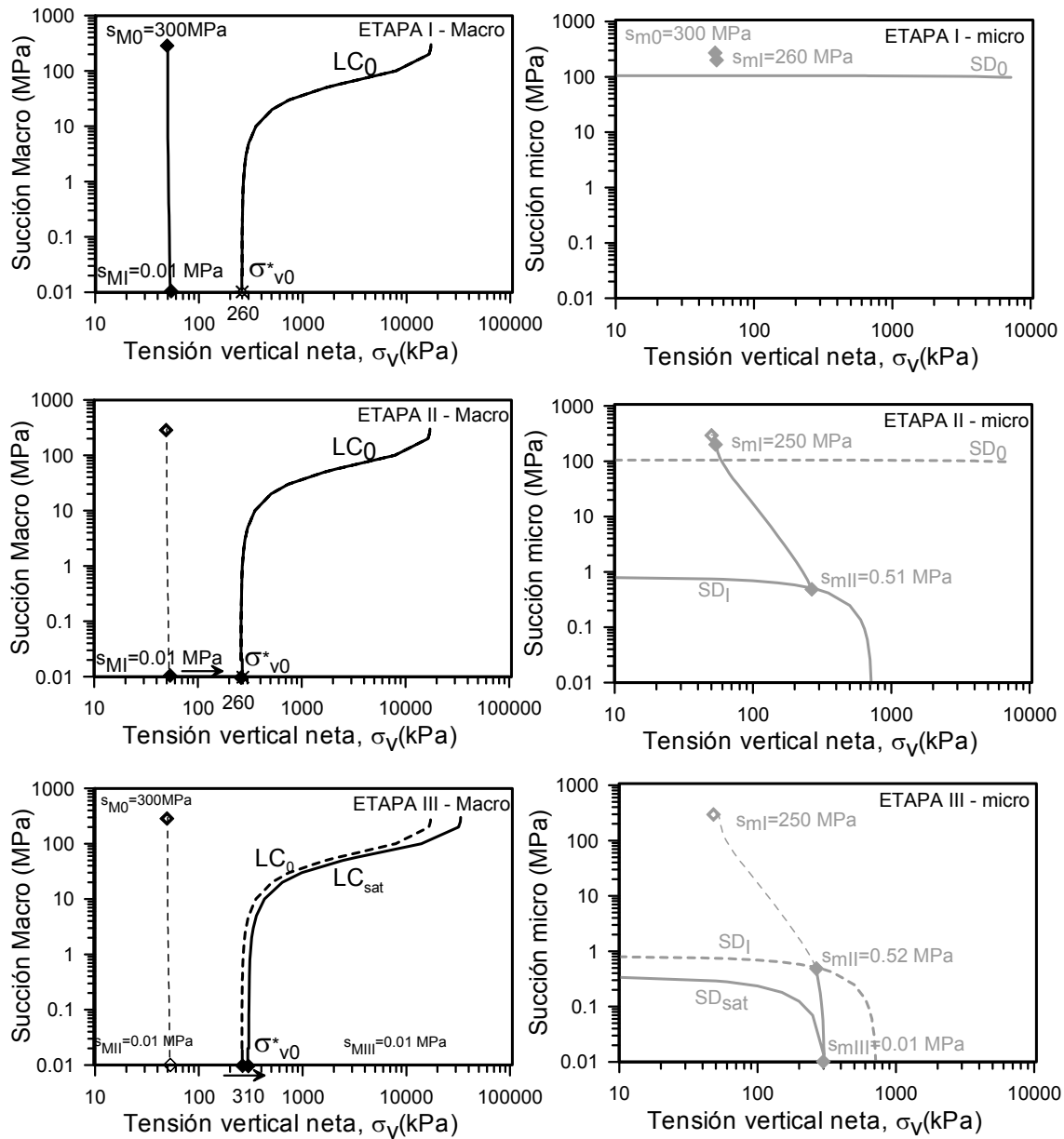


Figura 7.11. Evolución de las trayectorias de tensiones macro y micro durante el ensayo de presión de hinchamiento para $\rho_d=1.3 \text{ Mg/m}^3$.

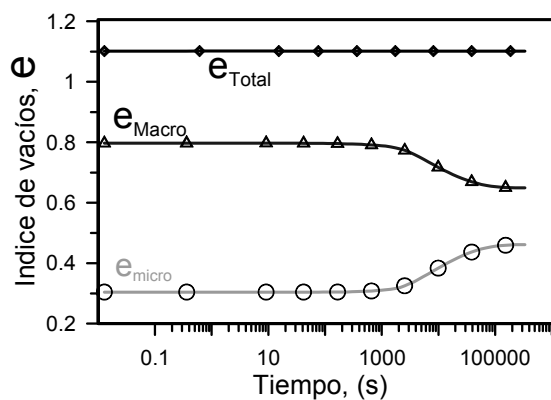


Figura 7.12. Evolución de los índices de vacíos correspondientes a la macro y microestructura.

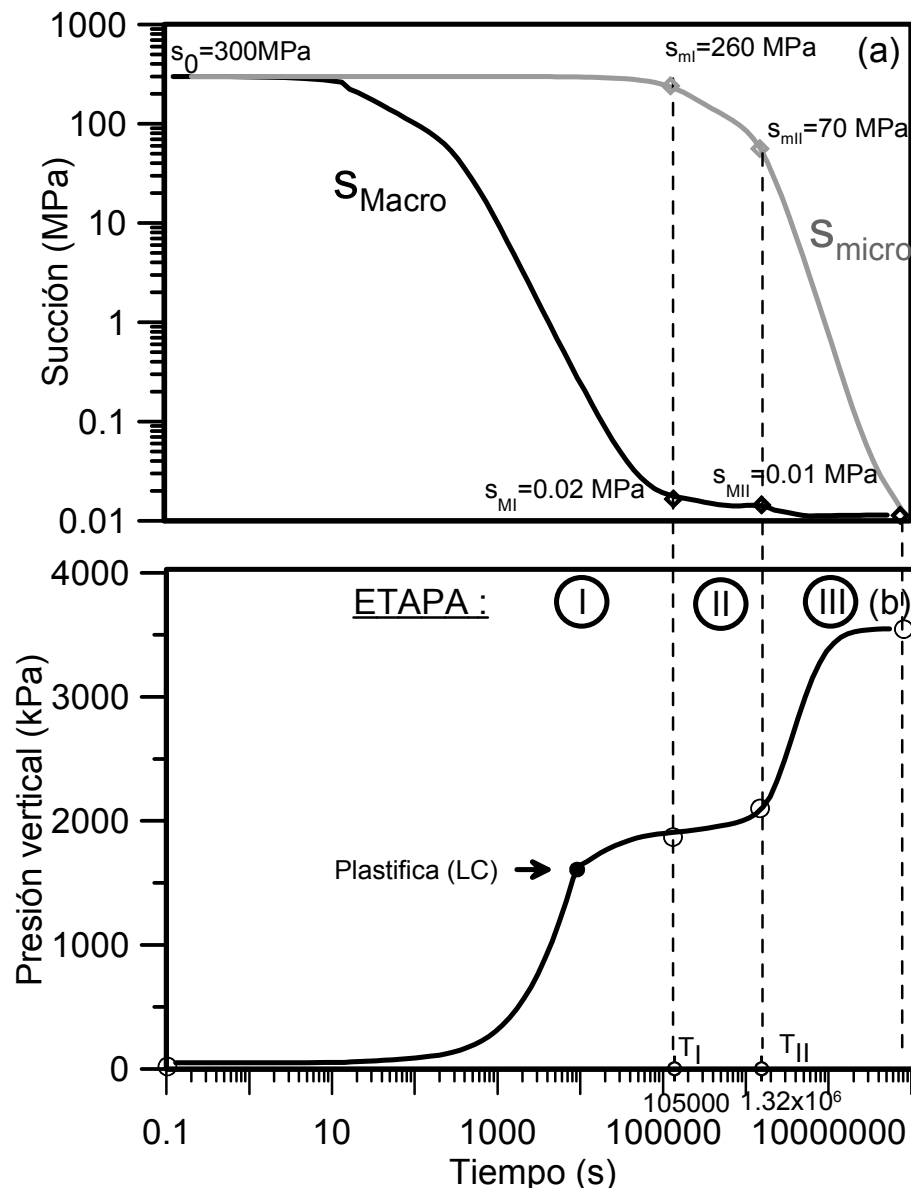


Figura 7.13 Ensayo de humedecimiento a volumen constante (presión de hinchamiento) para $\rho_d=1.5 \text{ Mg/m}^3$. (a)- Evolución de las succiones macro y micro. (b)- Evolución de la presión vertical según etapas.

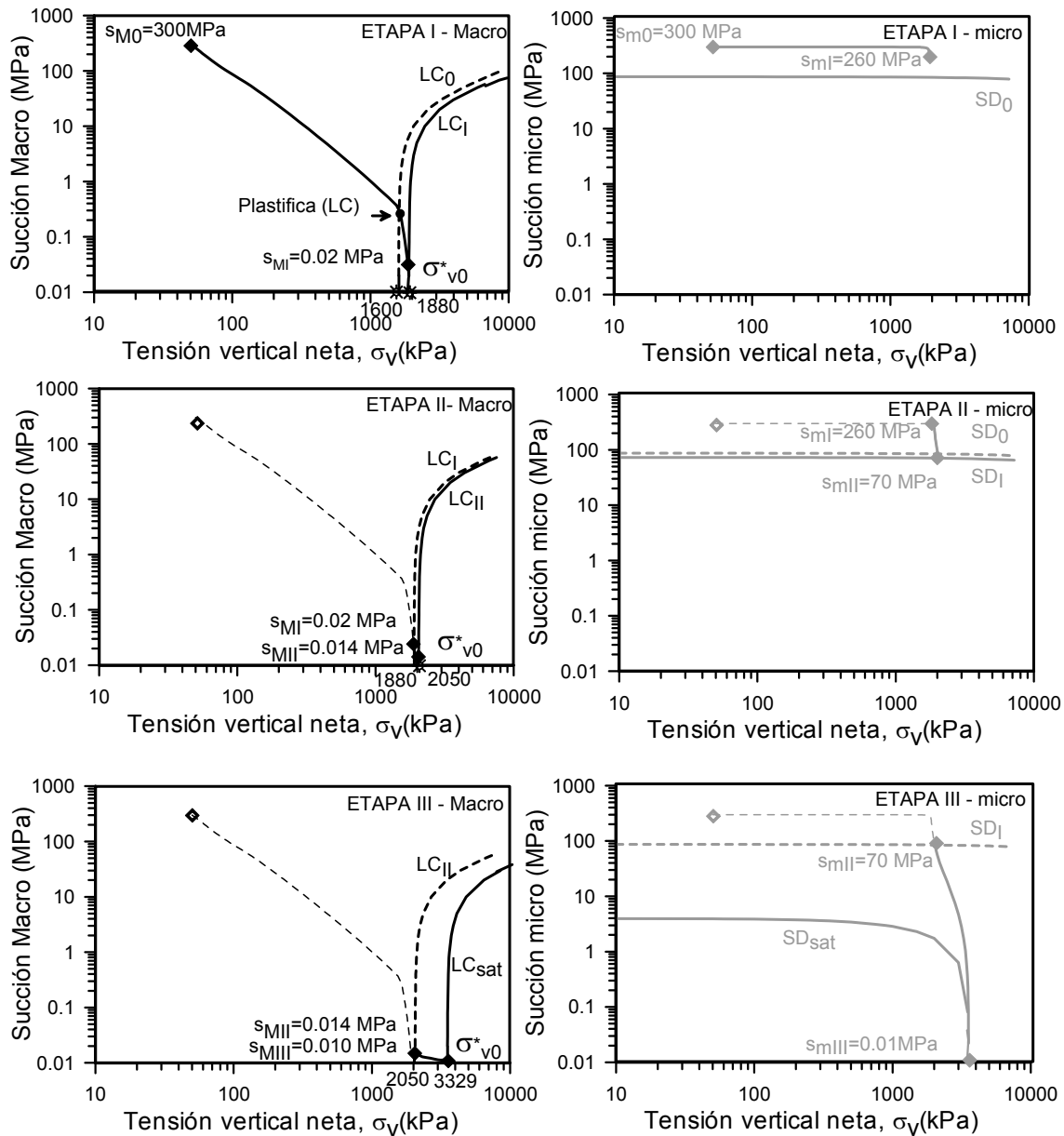


Figura 7.14. Evolución de las trayectorias de tensiones macro y micro durante el ensayo de presión de hinchamiento para $\rho_d=1.5 \text{ Mg/m}^3$.